

## Литература

1. Оксид индия-олова [Электронный ресурс] // Википедия. – Режим доступа: [https://ru.wikipedia.org/wiki/Оксид\\_индия-олова](https://ru.wikipedia.org/wiki/Оксид_индия-олова) (дата обращения: 25.04.2020).
2. Вейко В.П. Лазерная очистка в машиностроении и приборостроении / В.П. Вейко, В.Н. Смирнов, А.М. Чирков, Е.А. Шахио. – СПб.: НИУ ИТМО, 2013. – 103 с.
3. Dr-Ing N.V. Mandich. Surface preparation of metals prior to plating / Mandich Dr-Ing N.V. // AESF SUR/FIN. – 2002. – PP. 761–828.
4. Кощеев М.И. Простые нейросетевые алгоритмы для волнового метода определения места повреждения электросети / М.И. Кощеев, А.Л. Славутский, Л.А. Славутский // Вестник Чувашского университета. – 2019. – № 3. – С. 110–118.
5. Славутская Е.В. Нейросетевой системный анализ уровневых психологических характеристик / Е.В. Славутская, В.С. Абруков, Л.А. Славутский // Вестник Чувашского университета. – 2016. – № 1. – С. 164–173.
6. Абруков В.С. Методы интеллектуального анализа данных при создании баз знаний / В.С. Абруков, С.В. Абруков, А.В. Смирнов, Е.В. Карлович // Вестник Чувашского университета. – 2015. – № 1. – С. 140–146.
7. Ануфриева Д.А. Применение методов интеллектуального анализа данных в физических исследованиях. Многофакторные модели детонации / Д.А. Ануфриева, М.И. Кощеев, В.С. Абруков // Гидродинамика больших скоростей и кораблестроение: сб. науч. тр. XII Междунар. летней научн. школы-конф., посв. 155-летию со дня рождения академика А.Н. Крылова. – 2018. – С. 221–226.

Д.А. Степанова, А.Ю. Федотов, В.А. Наумов, В.И. Антонов  
(Чебоксары, ЧГУ им. И.Н. Ульянова, ООО НПП «ЭКРА»)

## НЕЙРОСЕТЕВОЙ АЛГОРИТМ СКОРОСТНОГО ИЗМЕНЕНИЯ РЕЖИМА СОЛНЕЧНОЙ ФОТОЭЛЕКТРИЧЕСКОЙ СТАНЦИИ

В ясную погоду, когда фотомодули солнечной станции равномерно освещены, энергетическая характеристика станции  $P(U)$  имеет только один пик, соответствующий максимуму вырабатываемой в этом режиме мощности MPP (Maximum Power Point). Известные

алгоритмы поиска точки максимальной мощности хорошо справляются с задачей поиска и поддерживания режима станции вблизи МРР в этом режиме – режиме равномерной освещенности. Одним из таких методов, стандартно применяемым в режиме равномерного освещения, является метод «возмущения и наблюдения» (P&O – Perturb and Observation) [1–3]. Метод отличает наглядность и простота. Согласно ему рабочая точка поддерживается вблизи МРР на энергетической характеристике за счёт непрерывного сканирования положения МРР путем изменения напряжения на выходе фотомодуля в окрестности точки МРР. Если при повышении напряжения наблюдается увеличение мощности, то предполагается, что МРР расположена справа, если наоборот, то – слева. В первом случае напряжение увеличивают, а во втором – уменьшают.

В условиях облачности фотомодули в разных частях обширной площади солнечной станции находятся под разным освещением. Частичная затененность фотомодулей приводит к появлению на энергетической характеристике  $P(U)$  станции множества локальных пиков LMPP (Local Maximum Power Point), среди которых только одна обеспечивает максимум вырабатываемой станцией мощности (рис. 1, *a*). При этой конфигурации освещенности метод P&O теряет способность выявления точки максимальной мощности и приводит режим станции в точку локального пика с существенно меньшей выработкой электроэнергии. Поскольку конфигурация освещенности может меняться относительно быстро, то для управления эффективностью солнечной станции потребуются специальные алгоритмы, обеспечивающие быстрое определение и выведение режима станции в окрестность глобального максимума мощности.

В докладе рассматривается новый алгоритм, реализующий скоростной вывод режима солнечной электростанции в окрестность точки с максимальной выработкой электроэнергии с последующей передачей управления стандартным методам поддержания рабочей точки.

**Универсальный алгоритм управления режимом станции.** В условиях быстро меняющейся конфигурации освещенности фотомодулей станции алгоритм управления режимом солнечной станции должен обладать способностью за единицы шагов поместить рабочую точку в окрестность глобального максимума мощности на энергетической характеристике.

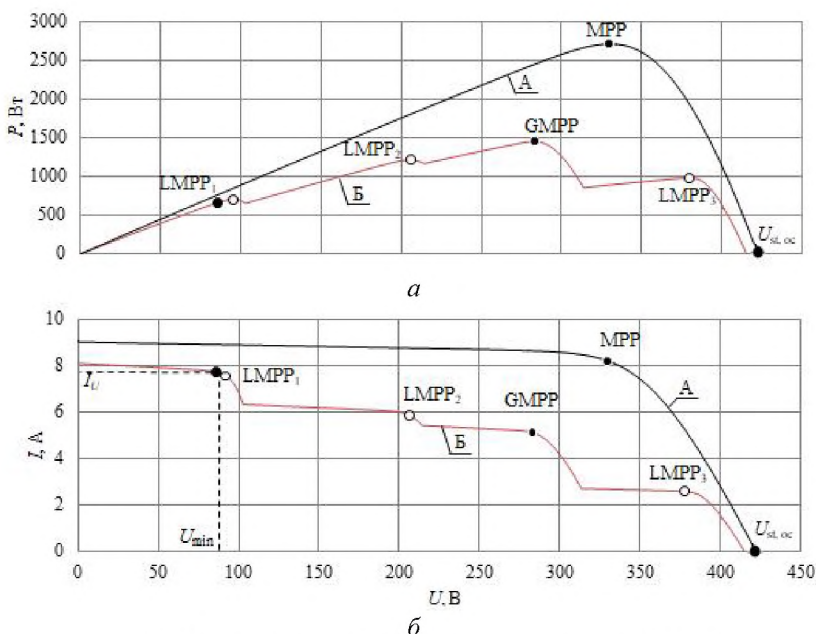


Рис. 1. Энергетическая  $P(U)$  (а) и вольт-амперная  $I(U)$  (б) характеристики фотомодуля при равномерной освещенности (А) и при частичном затенении (Б); тёмными кружочками обозначены точки GMPP (MPP), светлыми – LMPP

В то же время алгоритм должен быть универсальным и пригодным для применения в управлении солнечными станциями с различным числом и типом фотомодулей. Такого свойства алгоритма можно добиться, если энергетическую и вольтамперную характеристики солнечной электростанции представить в виде нормированных характеристик (рис. 2) [1, 4].

Приведение характеристик к унифицированному виду осуществляется, приняв в качестве базисных величин паспортное значение напряжения холостого хода  $U_{st,oc}$  и значение тока  $I_U$  при минимально допустимом напряжении, гарантирующем стабильную работу инвертора, например  $U_{min}$ . Таким образом, измерения электрических величин в относительных единицах будут иметь вид:

$$U_{r.u.} = U / U_{st,oc}, \quad I_{r.u.} = I / I_U, \quad P_{r.u.} = U_{r.u.} I_{r.u.}.$$

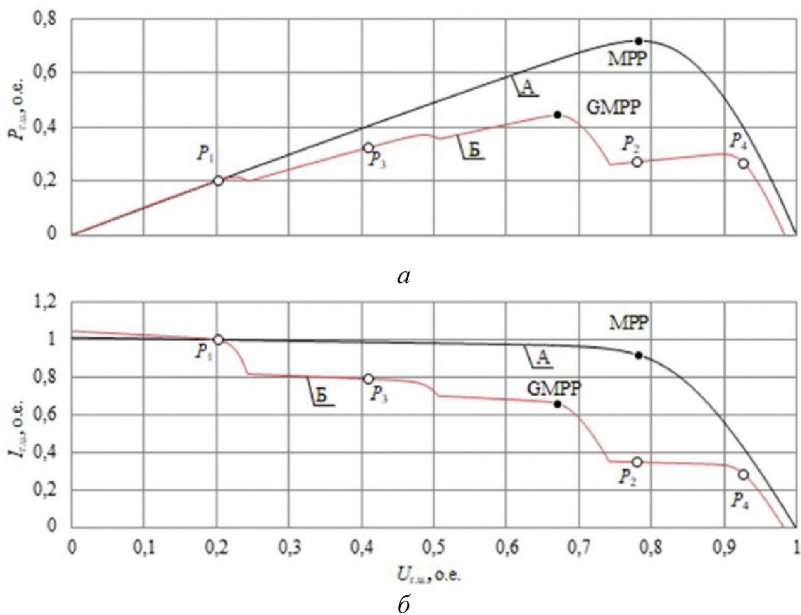


Рис. 2. Нормированные энергетическая (а) и вольт-амперная (б) характеристики солнечной электростанции при равномерном освещении (А) и в условиях частичного затенения (Б); светлыми кружочками показаны контрольные точки, используемые предлагаемым алгоритмом; остальные обозначения соответствуют обозначениям рисунка рис. 1

Для целей скоростного поиска точки глобального максимума мы используем алгоритм, основанный на измерении вырабатываемой станцией мощности в четырех контрольных точках нормированной энергетической характеристики. Значения мощностей  $P_1$  и  $P_2$  определяются при  $U = U_{\min}$  и  $U = 0,85U_{st,oc}$  соответственно, а  $P_3$  и  $P_4$  выбираются в зависимости от характера изменения кривой энергетической характеристики при различной конфигурации освещенности фотомодулей (рис. 2). Причем мощность  $P_1 = 0,2$  во всех случаях, поскольку нормированное напряжение и ток равны  $U_{1,r.u.} = 0,2$  и  $I_{U_{1,r.u.}} = 1$  соответственно. Поэтому мощность  $P_1$  непосредственно в обучении классификаторов не участвует и лишь задает положение трёхмерного пространства существенных прецедентов обучающей выборки в многомерном пространстве.

Другими словами, обучение нейронной сети проводится в трёхмерном пространстве с координатами  $(P_2, P_3, P_4)$  (рис. 3).

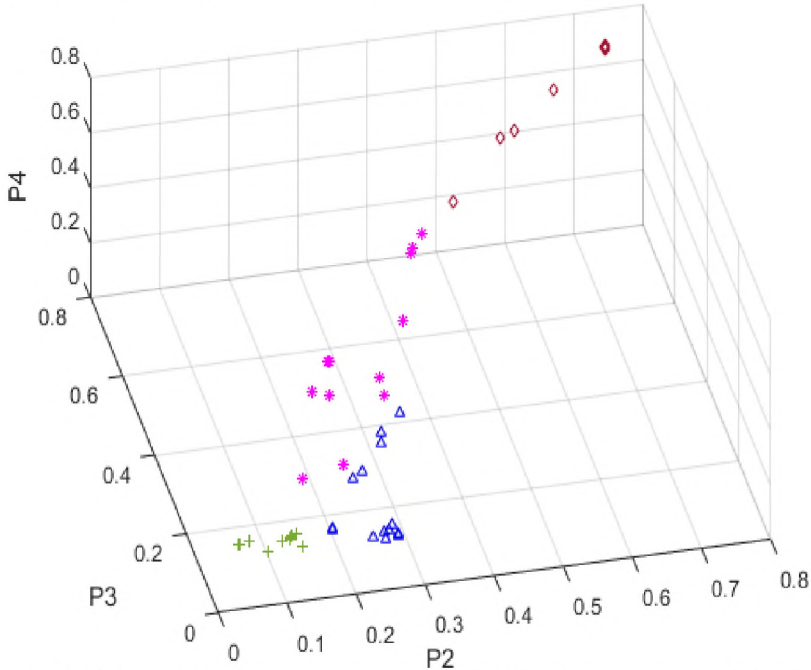


Рис. 3. Пространство прецедентов обучающей выборки; выбранный на рисунке ракурс показывает, что прецеденты различных классов могут быть строго разделены; принятые следующие обозначения прецедентов:  
«+» – первого, «Δ» – второго, «\*» – третьего, «◊» – четвертого классов

Поиск и отслеживание точки глобального максимума мощности (Global Maximum Power Point – GMPP) происходит одновременно с изменением режима работы станции, что в условиях быстро меняющейся конфигурации освещенности потребует скоростного вывода режима солнечной электрической станции в окрестность одной из рассматриваемых контрольных точек, близкой к GMPP. Номер контрольной точки, определяющий стартовую позицию при передаче управления стандартному методу поддерживания точки максимальной мощности, например, методу P&O, будет задан настроенной нейронной сетью путем отнесения текущего вектора измерений  $x_j$  к одному из классов (рис. 4).

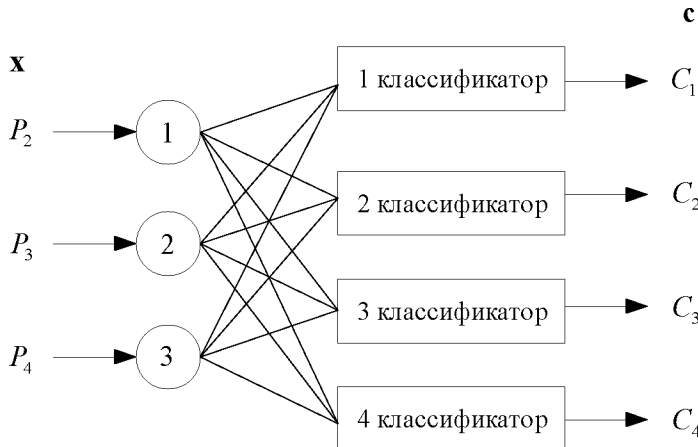


Рис. 4. Нейронная сеть для интеллектуального алгоритма быстрого поиска GMPP

Хотя в обучении участвуют только три точки, настройка нейронной сети потребует последовательного обучения четырех классификаторов, каждый из которых будет отделять один класс от всех остальных по принципу «один против всех» [5, 6]. На рис. 5 показан ход настройки нейронной сети. Взаимное расположение разделяющих поверхностей классификаторов показано на рис. 6. В работе используется один из известных методов машинного обучения, так называемый метод опорных векторов – Support Vector Machine (SVM), основы применения которого в задачах электроэнергетики исчерпывающе рассмотрены в работах [7, 8].

**Выводы.** Нейросетевой алгоритм поиска точки реального максимума мощности для текущей конфигурации освещенности солнечной фотоэлектрической станции за четыре шага обеспечивает скоростной вывод режима станции к окрестности глобального максимума вырабатываемой мощности в любых условиях частичного затенения с последующей передачей управления стандартным методам поддержания рабочей точки. Благодаря использованию нормированных энергетической и вольтамперной характеристик алгоритм поиска точки глобального максимума приобретает универсальность, а прецедентное пространство обучающей выборки сокращает свою размерность на единицу.

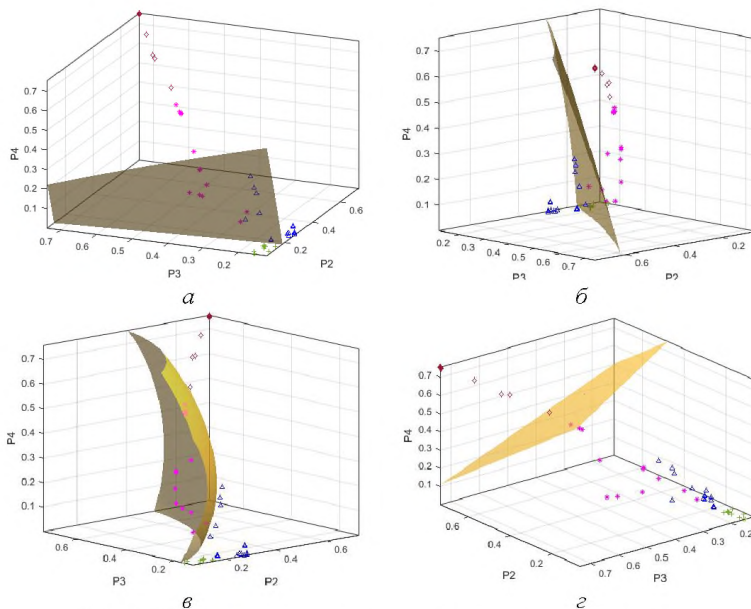


Рис. 5. Разделяющие поверхности первого ( $\alpha$ ), второго ( $\beta$ ), третьего ( $\gamma$ ) и четвёртого ( $\delta$ ) классификаторов нейронной сети; обозначения соответствуют обозначениям рис. 3

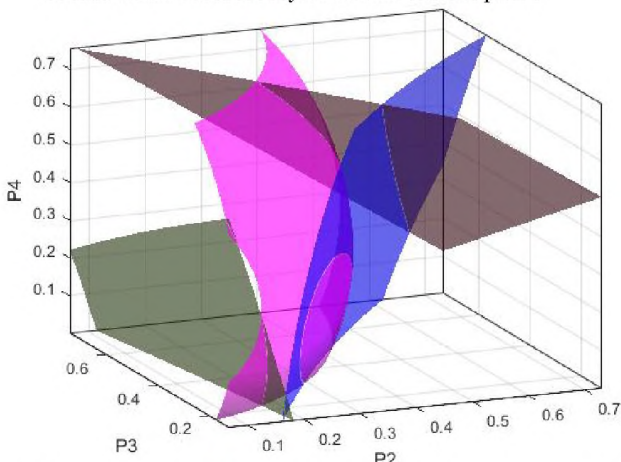


Рис. 6. Расположение разделяющих поверхностей интеллектуального алгоритма поиска точки GMPP в пространстве прецедентов

## Литература

1. *Федотов А.Ю.* Обеспечение эффективности солнечной фотоэлектрической станции в условиях быстро меняющейся конфигурации освещенности / А.Ю. Федотов, Д.А. Степанова, В.А. Наумов, В.И. Антонов // Релейная защита и автоматизация. – 2020. – № 1. – С. 42–47.
2. *Hohm D.P.* Comparative Study of Maximum Power Point Tracking Algorithms / D.P. Hohm, M.E. Ropp // Progress in Photovoltaics: Research and Applications. – 2003. – No. 11. – PP. 47–62.
3. *Esram T.* Comparison of Photovoltaic Array Maximum Power Point Tracking Techniques / T. Esram, P.L. Chapman // IEEE Transactions on Energy Conversion. – 2007. – Vol. 22, No. 2. – PP. 439–449.
4. *Федотов А.Ю.* Задачи и методы поддержания эффективности солнечных электрических станций / А.Ю. Федотов, В.А. Наумов, В.И. Антонов // РЕЛАВЭКСПО–2019: сб. докл. науч.-техн. конф. молодых специалистов. – Чебоксары: Изд-во Чуваш. ун-та, 2019. – С. 224–231.
5. *Stepanova D.A.* Deep Learning in Relay Protection of Digital Power Industry / D.A. Stepanova, V.A. Naumov, V.I. Antonov // 2nd Int. Youth Scientific and Technical Conf. on Relay Protection and Automation. – 2019. – PP. 299–315. – DOI: 10.1109/RPA47751.2019.8958378.
6. *Степанова Д.А.* К теории глубокого обучения релейной защиты / Д.А. Степанова, В.А. Наумов, В.И. Антонов // Динамика нелинейных дискретных электротехнических и электронных систем: материалы XIII Всерос. науч.-техн. конф. – Чебоксары: Изд-во Чуваш. ун-та, 2019. – С. 319–327.
7. *Степанова Д.А.* Задачи классификации и глубокого обучения в релейной защите цифровой электроэнергетики / Д.А. Степанова, В.А. Наумов, В.И. Антонов // РЕЛАВЭКСПО-2019: Релейная защита и автоматизация электроэнергетических систем России: сб. докл. научно-техн. конф. молодых специалистов (Чебоксары, 23–26 апреля 2019 г.). – С. 116–122.
8. *Степанова Д.А.* Фундаментальные основы глубокого обучения релейной защиты / Д.А. Степанова, В.А. Наумов, В.И. Антонов // Динамика нелинейных дискретных электротехнических и электронных систем: материалы XIII Всерос. науч.-техн. конф. – Чебоксары: Изд-во Чуваш. ун-та, 2019. – С. 319–327.